

第七章：根轨迹法

2022年11月4日

本章的**基本要求**:

1. 熟练掌握根轨迹图的绘制
2. 利用根轨迹法设计控制器

内容安排

7.1

根轨迹的基本概念

7.2

根轨迹绘制的基本方法

7.3

基于根轨迹的控制系统分析

7.4

基于根轨迹的控制系统设计

7.5

MATLAB在根轨迹中的应用


例7.1 单位负反馈系统的开环传递函数如下，

$$G(s) = \frac{5K_A}{s(s + 34.5)}$$

$K_A = 200$ 、 1500 和 13.5 时，试分别确定闭环极点并分析系统性能。

解：

$$\phi(s) = \frac{G(s)}{1 + G(s)} = \frac{5K_A}{s^2 + 34.5s + 5K_A}$$

考察 $K_A = 200$  $\phi(s) = \frac{1000}{s^2 + 34.5s + 1000}$

$$\phi(s) = \frac{1000}{s^2 + 34.5s + 1000}$$

$$\omega_n^2 = 1000, \quad 2\zeta \cdot \omega_n = 34.5 \quad \rightarrow$$

$$\omega_n = 31.6,$$

$$\zeta = \frac{34.5}{2\omega_n} = 0.545$$

$$t_p = \frac{\pi}{\omega_n \sqrt{1-\zeta^2}} = 0.12$$

$$t_s \approx \frac{3}{\zeta \cdot \omega_n} = 0.174$$

$$P. O. = e^{-\pi\zeta/\sqrt{1-\zeta^2}} \times 100\% = 13\%$$

$$N = \frac{t_s}{2\pi/\omega_d} = \frac{t_s \omega_n \sqrt{1-\zeta^2}}{2\pi} = 0.72$$

闭环极点为:

$$S_{1,2} = -17.25 \pm j26.5$$

考察 $K_A = 1500$

$$\omega_n = 86.2; \zeta = 0.2$$

此时有:

$$t_p = 0.037, t_s = 0.174$$

$$P. O. = 52.7\%$$

闭环极点为: $s_{1,2} = -17.25 \pm j84.5$

调大 K_A 后, 极点位置垂直变化, ζ 变小, ω_n 变大;
 t_p 变小, $P. O.$ 变大; 而 t_s 保持不变。

考察 $K_A = 13.5$

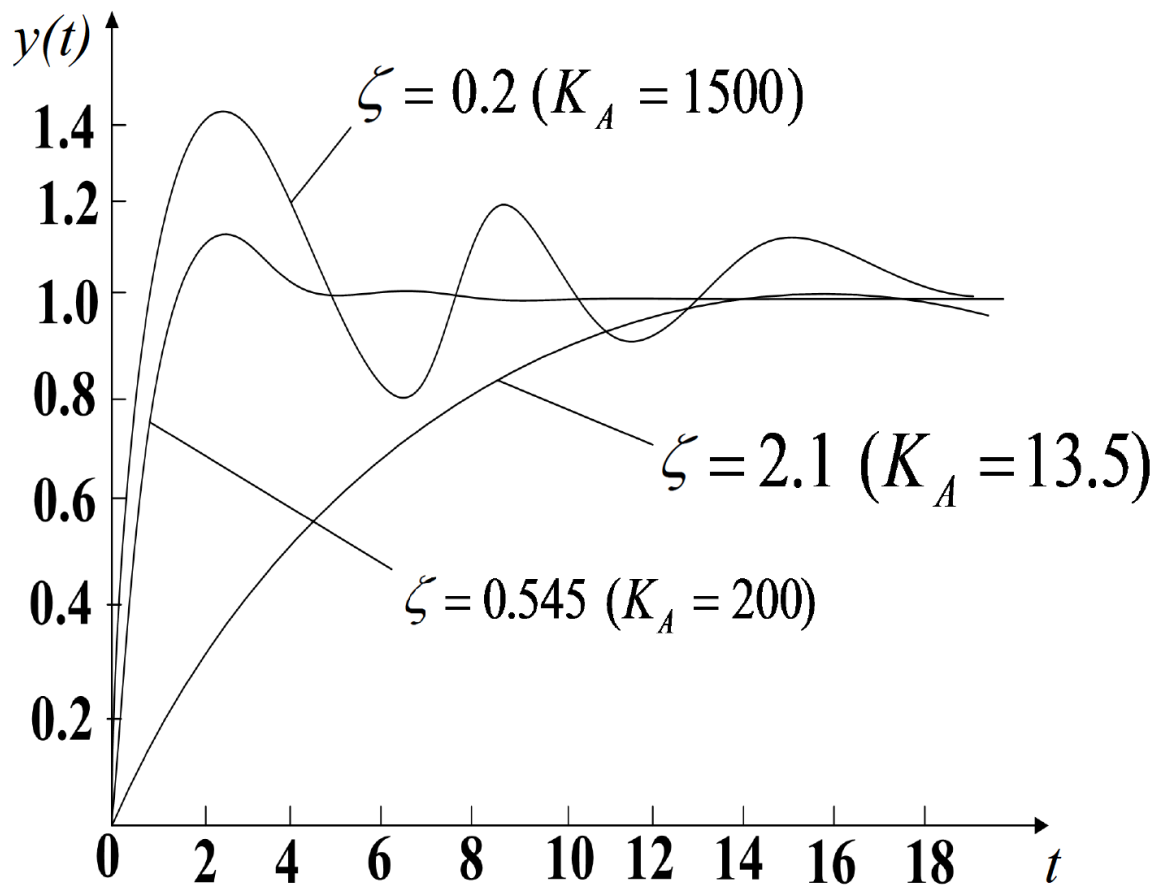
$$\omega_n = 8.22, \zeta = 2.1$$

此时系统变成了过阻尼，调节时间由较大的时间常数决定。

$$\frac{1}{T_1} = \omega_n (\zeta - \sqrt{\zeta^2 - 1})$$

$$t_s \approx 3T_1 = 1.46$$

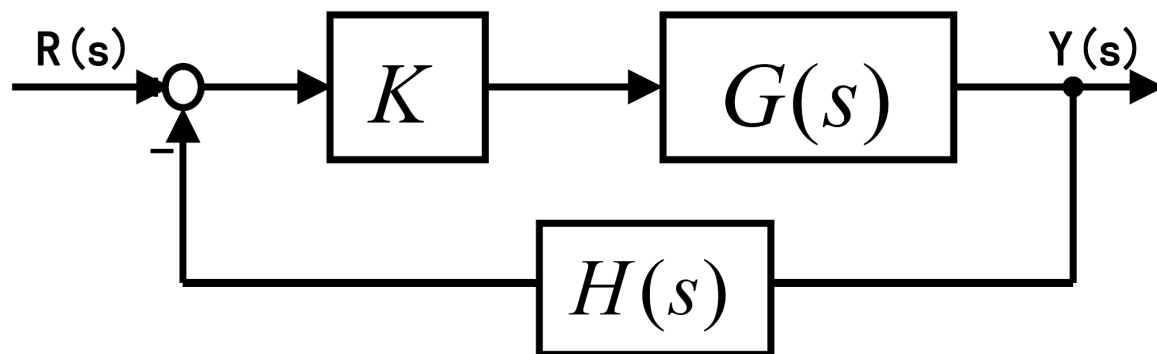
闭环极点为： $S_1 = -32.44$ $S_2 = -2.08$



盲人摸象
或一叶障目

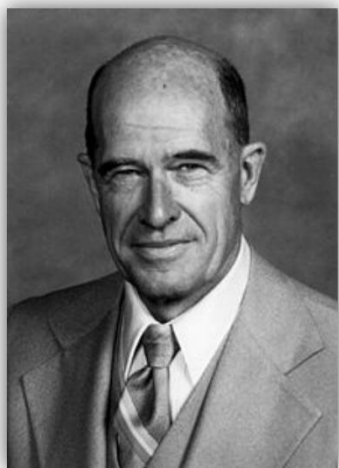
- 1、**调参数**可以改变极点**位置**，进而改变系统性能。
- 2、兼顾稳、快、准，**如何调参数**？

最典型的控制结构：比例控制



例7.1案例考察了调节 K 时，极点位置、系统性能的变化

问题：能否简便地获知 K 变化时，极点位置以及系统性能变化的全貌？



美国工程师 W. R. Evans

1948年

《控制系统的图解分析》

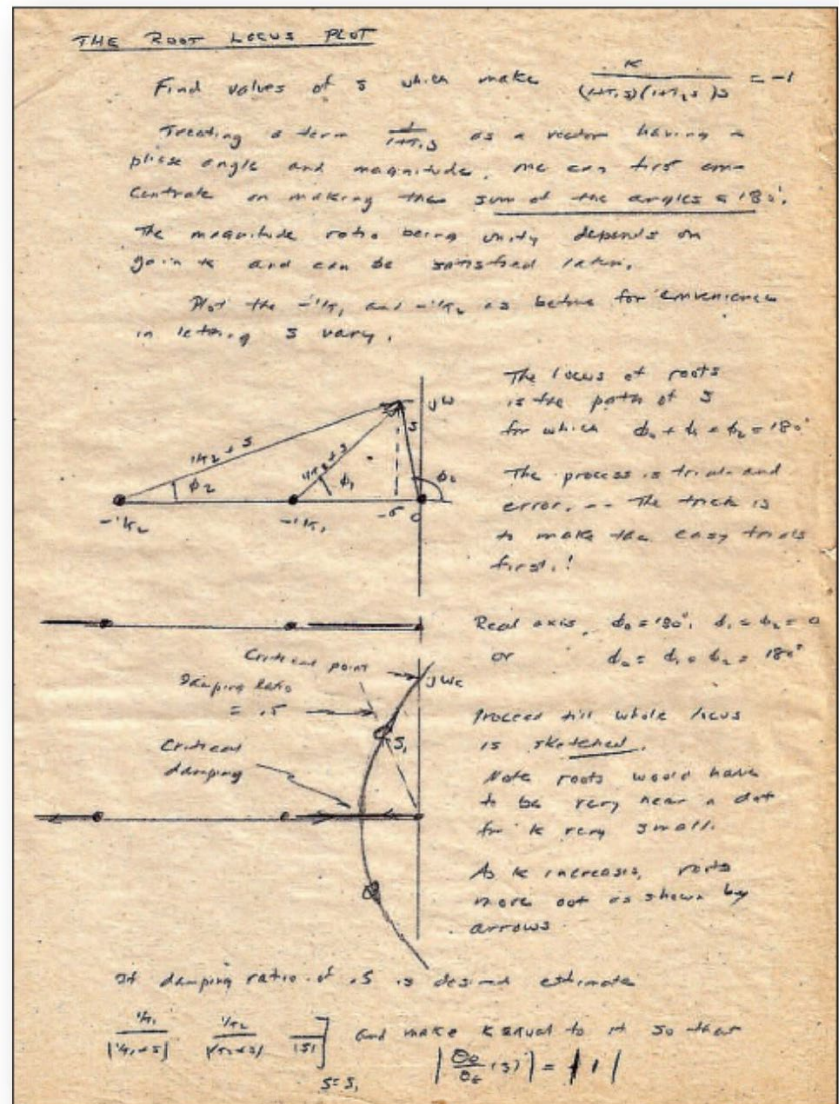
根轨迹：开环系统某一参数从0 变到正无穷时，闭环系统的极点在 s 平面上变化的轨迹。

1948 年...



Figure 1. Walter R. Evans as a student in the 1940s. Evans

Walter R. Evans, 1948

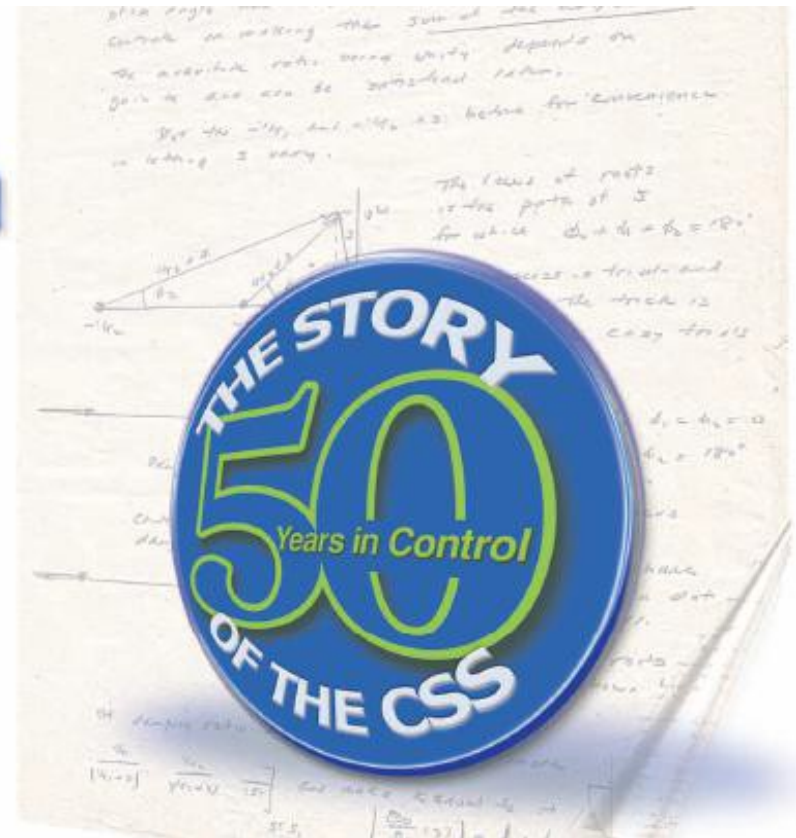


2004 年...

Bringing Root Locus to The Classroom

The story of
Walter R. Evans
and his textbook
Control-System Dynamics

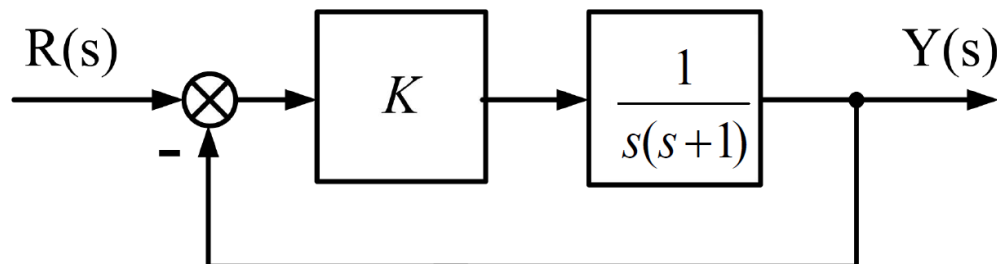
by Gregory Walter Evans



0272-1708/04/\$20.00©2004IEEE
IEEE Control Systems Magazine

December 2004

例7.2：确定如下闭环系统的根轨迹。



解：

闭环传递函数：
$$T(s) = \frac{K}{s^2 + s + K}$$

特征方程：
$$s^2 + s + K = 0$$

特征方程的根：
$$s_{1,2} = -0.5 \pm 0.5\sqrt{1 - 4K}$$

考察 K 从零到无穷大变化时，极点的变化情况

$$s_{1,2} = -0.5 \pm 0.5\sqrt{1-4K}$$

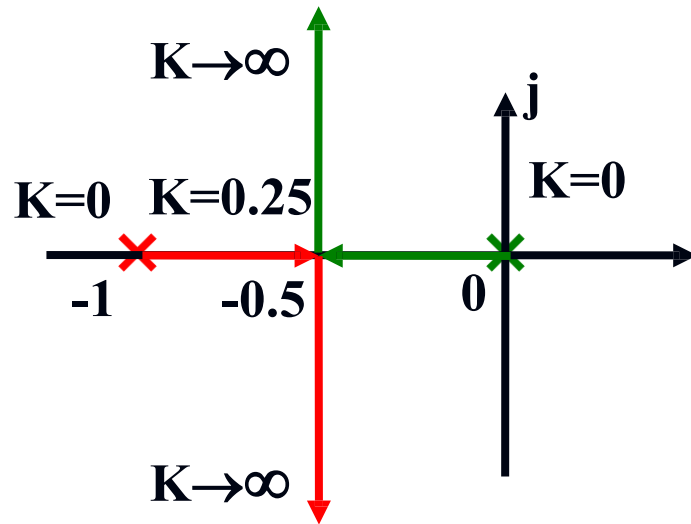
1、 $K=0$ 时， $s_1 = 0, s_2 = -1$

2、 $0 < K < 0.25$ 时，两个互异负实根

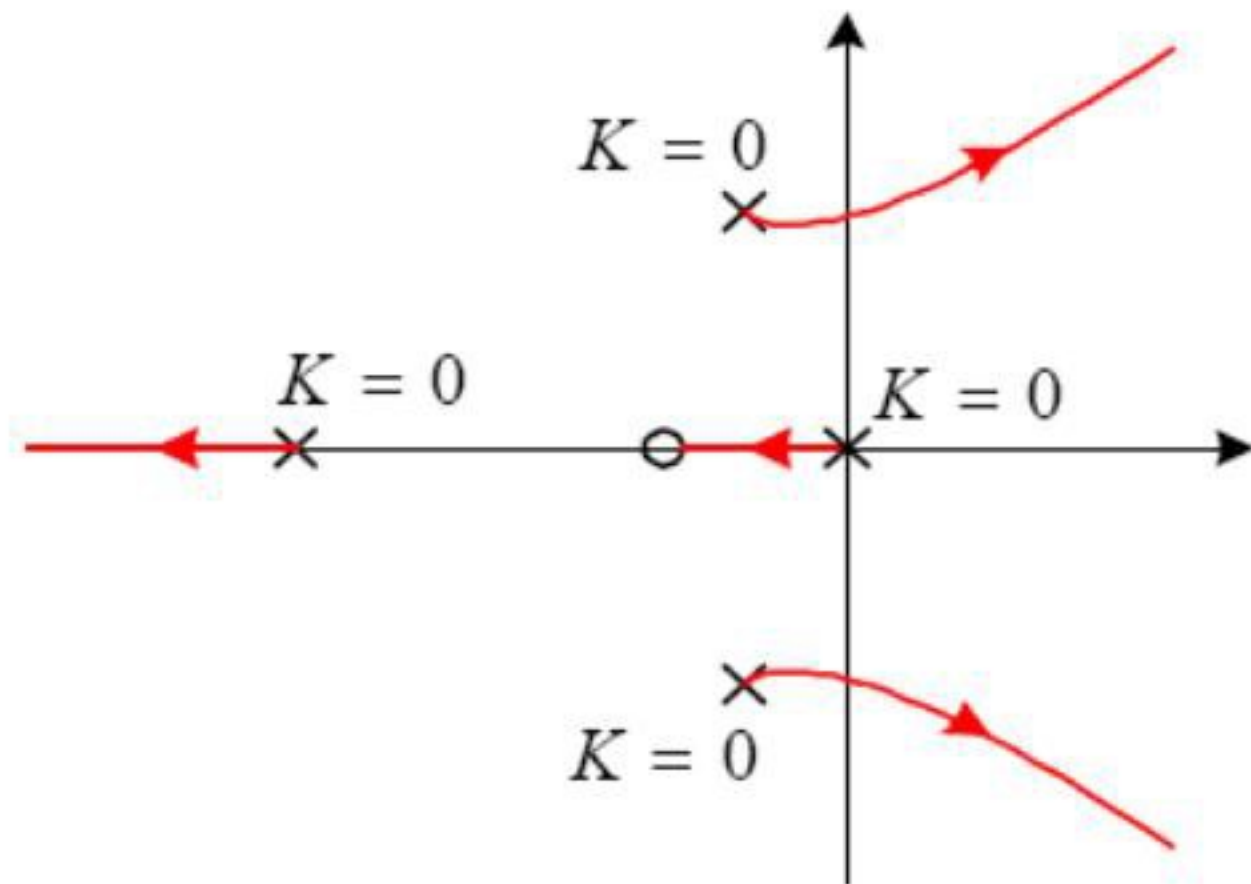
$$s_{1,2} = -0.5 \pm 0.5\sqrt{1-4K}$$

3、 $K=0.25$ 时， $s_{1,2} = -0.5$

4、 $0.25 < K < \infty$ 时， $s_{1,2} = -0.5 \pm 0.5j\sqrt{4K-1}$

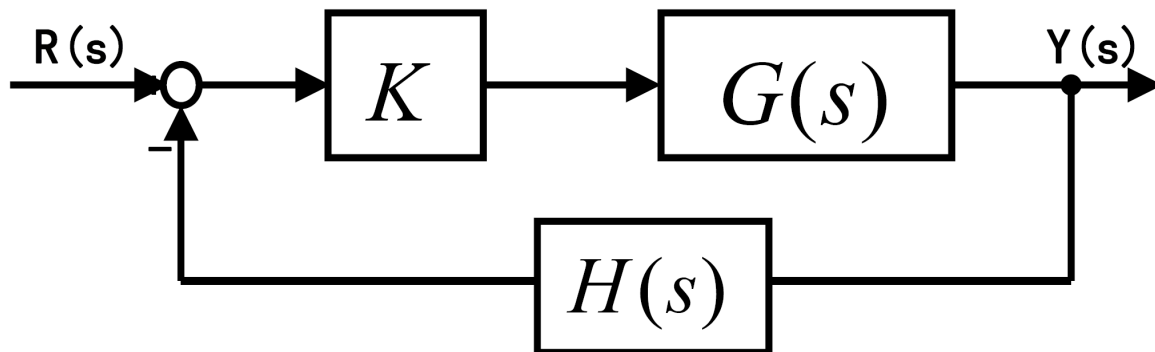


根轨迹图：以系统根轨迹增益 K 为参变量，当 K 由 $0 \rightarrow \infty$ 时，系统闭环极点在 S 平面上变化的轨迹。



极点变化全貌，如何解读性能？

根轨迹方程和约束条件



s 平面上的点 s 在根轨迹上，必须满足闭环特征方程：

$$1 + K G(s) H(s) = 0$$

其中，开环传递函数为：

$$K G(s) H(s) = \frac{K(s + z_1)(s + z_2) \dots (s + z_m)}{(s + p_1)(s + p_2) \dots (s + p_n)}$$

由特征方程得到:

$$KG(s)H(s) = \frac{K \prod_{i=1}^m (s + z_i)}{\prod_{j=1}^n (s + p_j)} = -1$$



$$\angle KG(s)H(s) = 180^\circ + k360^\circ$$

$$(k = 0, 1, 2, \dots, n - m - 1)$$

—————→ 相角条件

$\begin{aligned} \angle KG(s)H(s) = & \angle (s - z_1) + \angle (s - z_2) + \dots + \angle (s - z_m) \\ & - \angle (s - p_1) - \angle (s - p_2) - \dots - \angle (s - p_n) \end{aligned}$

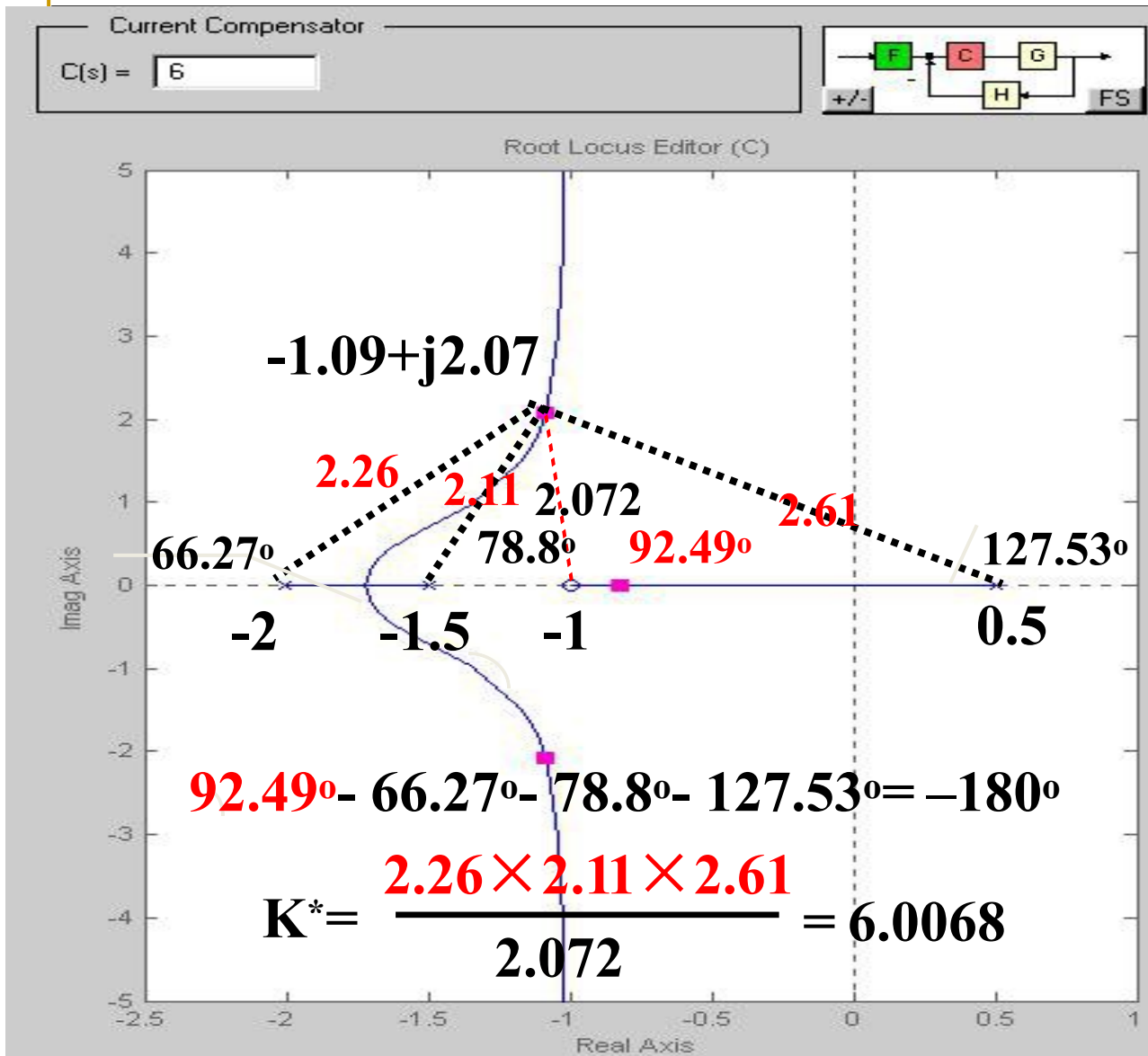
$$|KG(s)H(s)| = 1 \quad \text{—————→ 幅值条件}$$

$$\angle KG(s)H(s) = 180^\circ + k360^\circ$$
$$(k = 0, 1, 2, \dots, n - m - 1)$$

相角条件决定了整条根轨迹，即哪些点是极点。

$$|KG(s)H(s)| = 1$$

幅值条件决定了极点 s 的匹配增益值。



例7.3：已知
开环零极点为：

$$z_1 = -1$$

$$p_1 = -2$$

$$p_2 = -1.5$$

$$p_3 = 0.5$$

验证：

$$s_{2,3} = -1.09 \pm j2.07$$

在根轨迹上。

$$\frac{K(s+1)}{(s+2)(s+1.5)(s-0.5)} = -1$$

$$s_1 = -0.825$$

内容安排

7.1

根轨迹的基本概念

7.2

根轨迹绘制的基本方法

7.3

基于根轨迹的控制系统分析

7.4

基于根轨迹的控制系统设计

7.5

MATLAB在根轨迹中的应用

1、根轨迹的分支数

N 阶系统有 N 个闭环极点。根轨迹的分支数为系统阶数，也等于开环极点的个数。

2、根轨迹的对称性

N 阶系统的 N 个闭环极点，要么是实根，要么是共轭复根，因此，根轨迹关于实轴对称。

3、根轨迹的起点

$$1 + K G(s) H(s) = 1 + \frac{K(s + z_1)(s + z_2) \dots (s + z_m)}{(s + p_1)(s + p_2) \dots (s + p_n)} = 0$$

$$(s + p_1)(s + p_2) \dots (s + p_n) + K(s + z_1)(s + z_2) \dots (s + z_m) = 0$$

$$K \rightarrow 0$$

$$(s + p_1)(s + p_2) \dots (s + p_n) = 0$$

根轨迹起始于开环极点。

4、根轨迹的终点

$$1 + K G(s) H(s) = 1 + \frac{K(s + z_1)(s + z_2) \dots (s + z_m)}{(s + p_1)(s + p_2) \dots (s + p_n)} = 0$$

$$(s + p_1)(s + p_2) \dots (s + p_n) + K(s + z_1)(s + z_2) \dots (s + z_m) = 0$$

$$K \rightarrow \infty$$

$$(s + z_1)(s + z_2) \dots (s + z_m) = 0$$

根轨迹终止于开环零点。

(m 个有限零点、 $n - m$ 个无限零点)

5、实轴上的根轨迹段

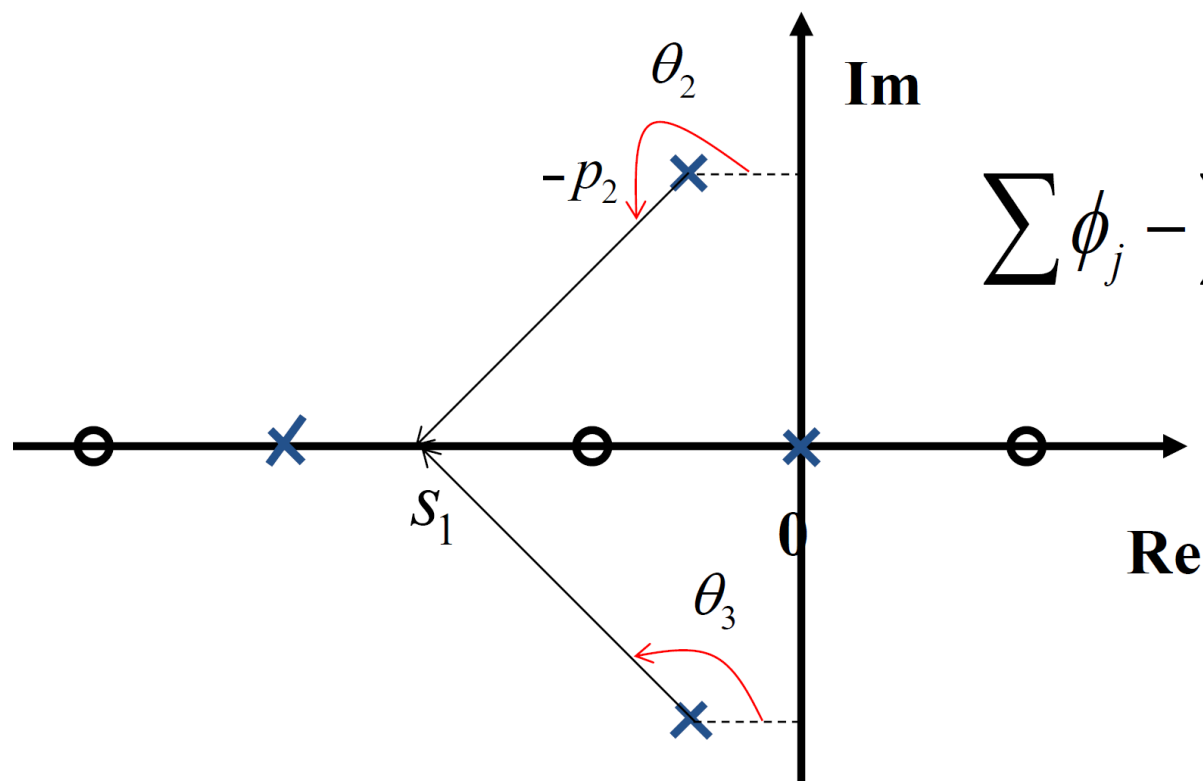
实轴上的点 s_1 ，其右侧的**开环**零点、极点的个数之和为**奇数**时，该点在根轨迹上。

实轴上的点 s_1 在根轨迹上，必须满足相角条件：

$$\sum \phi_j - \sum \theta_i = (2k+1)\pi$$

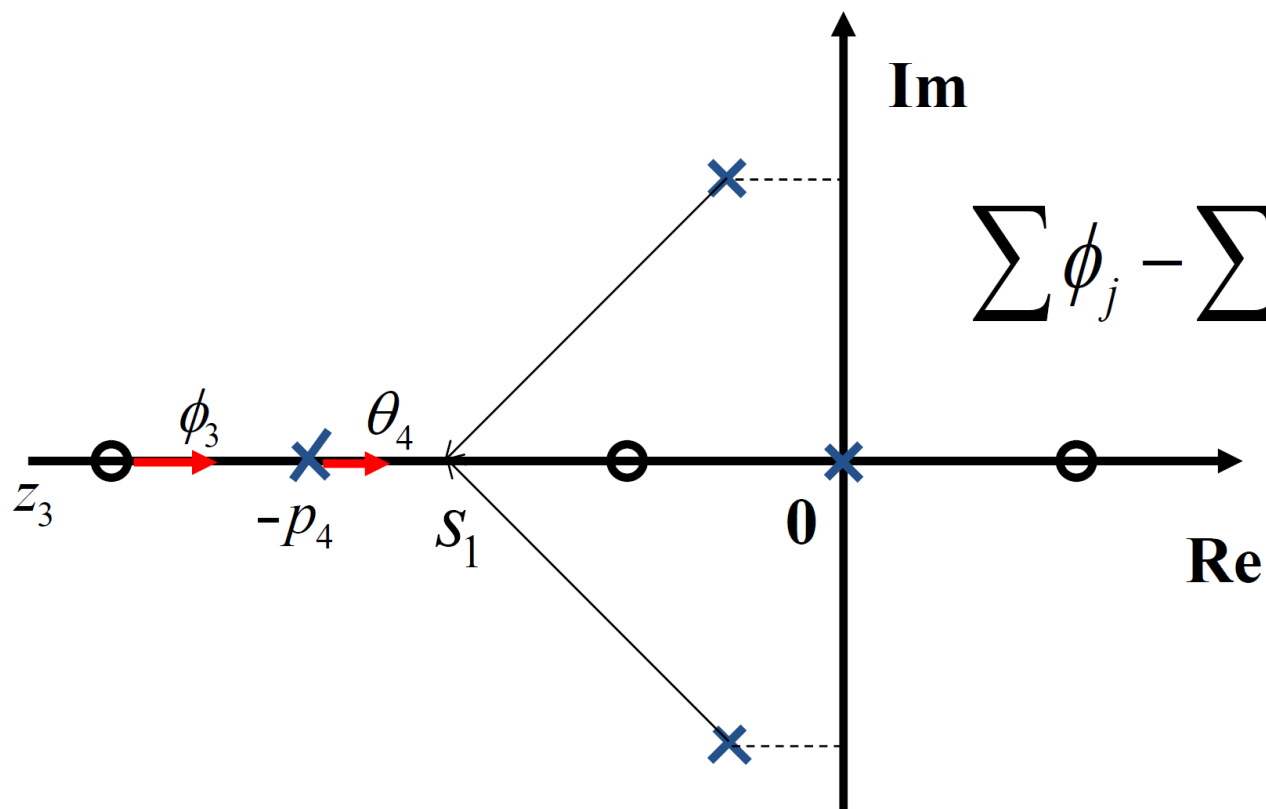
上式左边的各个相角由**开环零、极点**诱导产生。

共轭开环零点或极点，诱导的相角成对出现，且为 360° ，对是否满足相角条件**无实质性影响**。



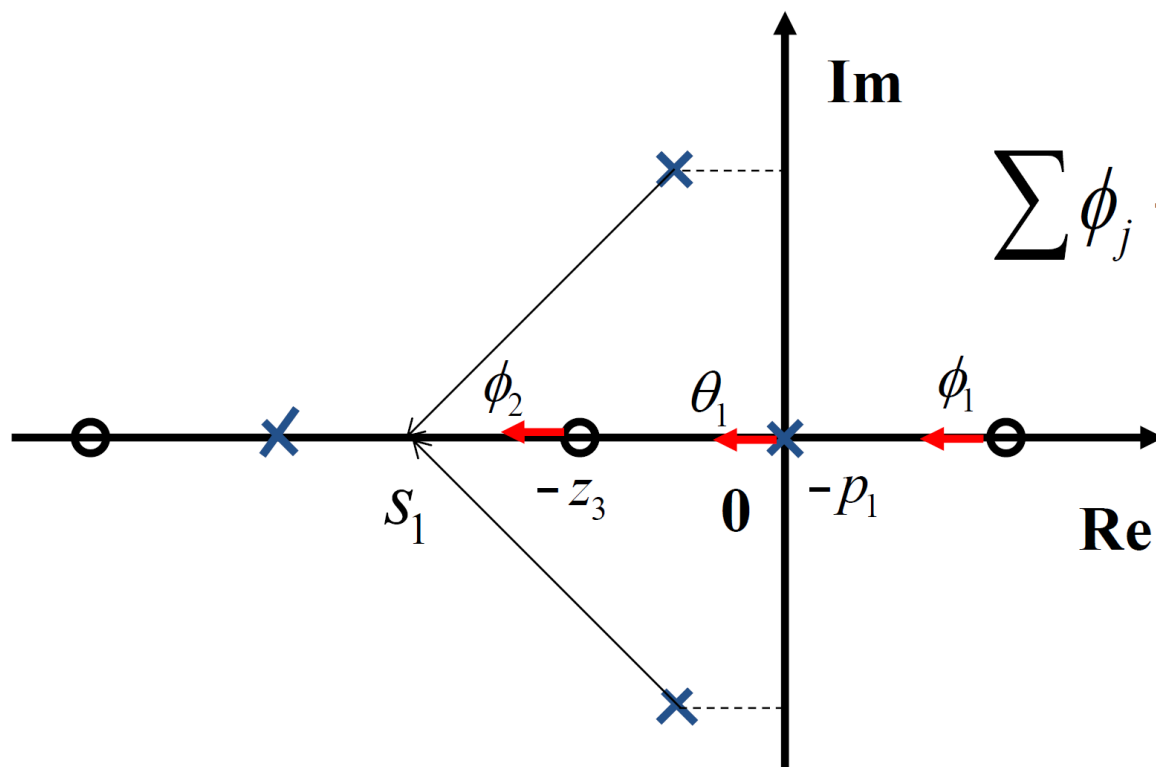
$$\sum \phi_j - \sum \theta_i = (2k + 1)\pi$$

点 s_1 左侧的开环实零点或极点，诱导的相角都为 0° ，
对是否满足相角条件**无实质性影响**。



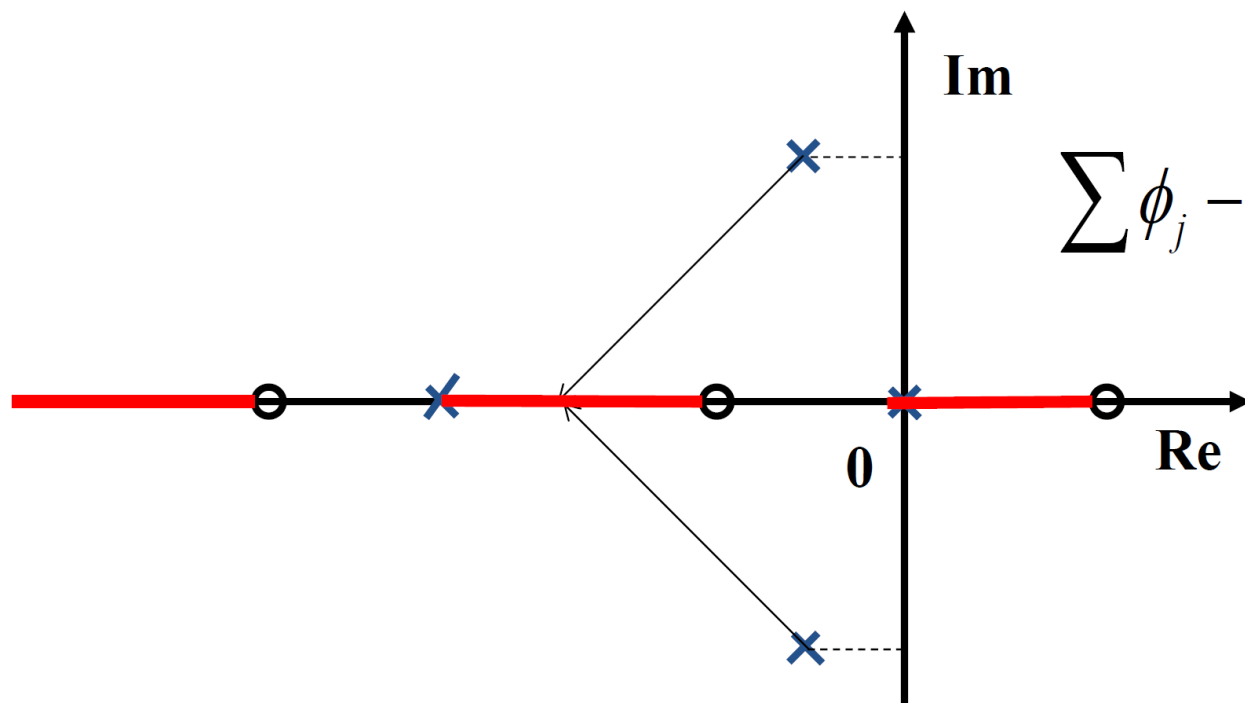
$$\sum \phi_j - \sum \theta_i = (2k+1)\pi$$

点 s_1 右侧的开环实零点或极点，诱导的相角都为 180° ，因此，右侧开环实零点和极点个数之和为奇数时，相角条件得以满足。



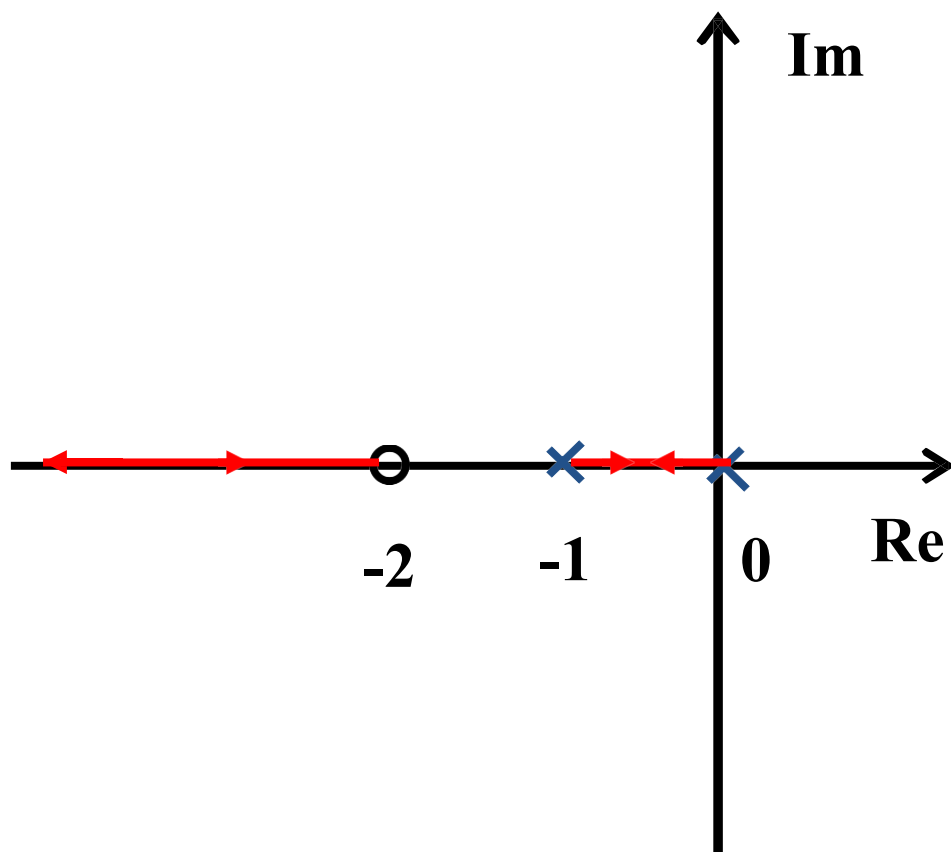
$$\sum \phi_j - \sum \theta_i = (2k+1)\pi$$

实轴上有三段是根轨迹段。



$$\sum \phi_j - \sum \theta_i = (2k+1)\pi$$

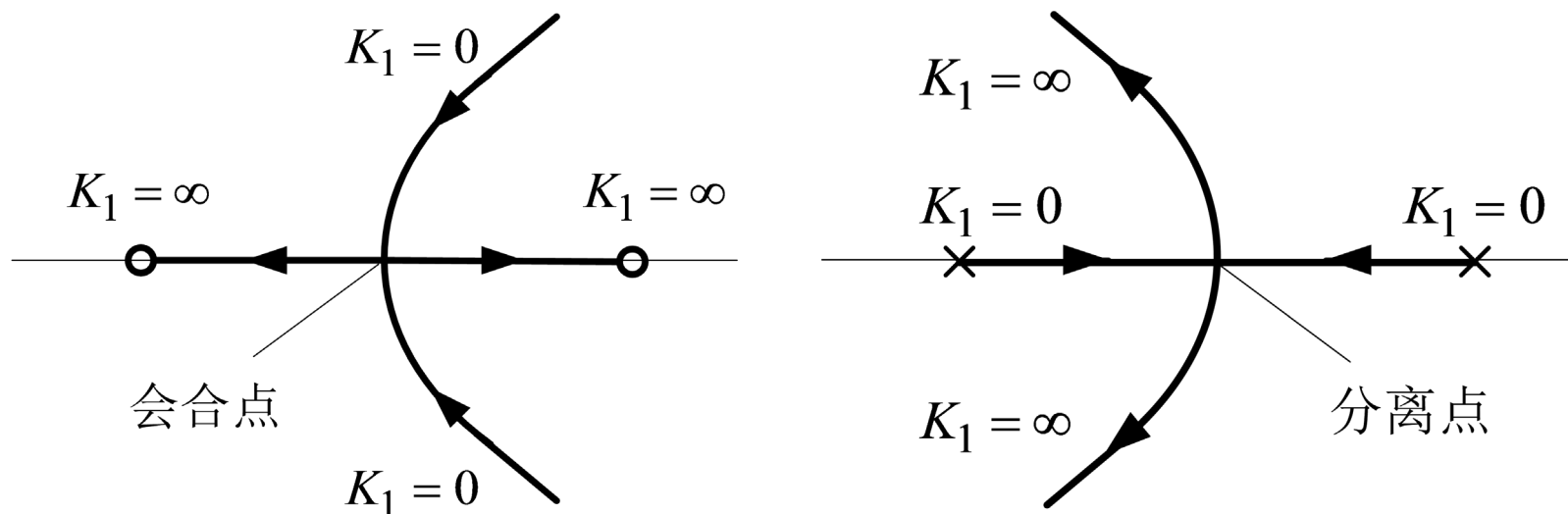
例7.4：开环传递函数为： $KG(s)H(s) = \frac{K(s+2)}{s(s+1)}$



请确定根轨迹的起始点、终止点和实轴上的根轨迹段

与求解无数次特征方程等效！

6、根轨迹的分离点（会合点）



根轨迹在 S 平面上相遇，表明系统有相同的根。即根轨迹上的分离点/会合点与特征方程式的**重根**相对应。

根据根轨迹方程：

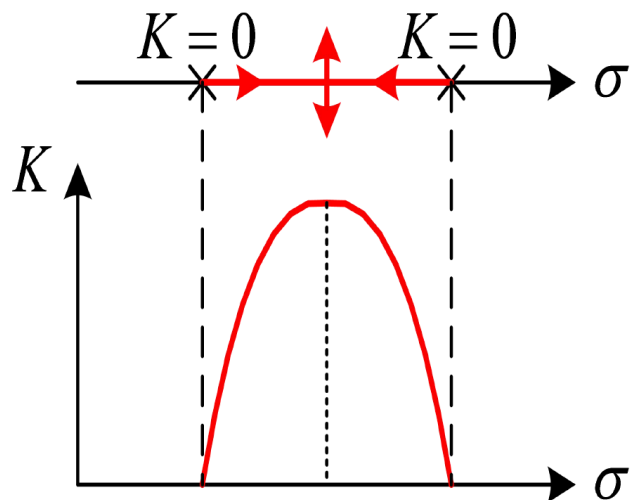
$$KG(s)H(s) = K \frac{P(s)}{Q(s)} = -1$$

$$KG(s)H(s) = \frac{K \prod_{i=1}^m (s + z_i)}{\prod_{j=1}^n (s + p_j)} = K \frac{P(s)}{Q(s)}, \text{ 其中 } P(s) = \prod_{i=1}^m (s + z_i), \quad Q(s) = \prod_{j=1}^n (s + p_j)$$

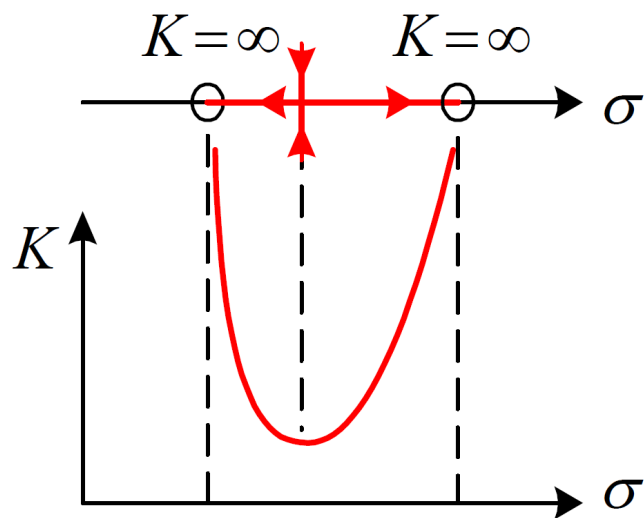
换个角度，得到极点 s 的匹配增益值函数：

$$K = -\frac{Q(s)}{P(s)}$$

这是 N 个定义域不同的匹配增益值函数。



匹配增益值函数分支在极点 s 的实定义域内单调增（减），且在分离点处取得极大值。



匹配增益值函数分支在极点 s 的实定义域内单调减（增），且在会合点处取得极小值。

分离点和会合点是实数域内极值点，其必要条件为：

$$\frac{dK}{ds} = -\frac{P(s)Q'(s) - P'(s)Q(s)}{P^2(s)} = 0$$

再考虑到 $K \geq 0$ （且为实数）的约束条件，就能得到真正的分离点和会合点。

7、根轨迹的渐近线

共有 $n - m$ 条根轨迹分支沿着一组渐近线趋向无穷远处，渐近线与实轴夹角为 ϕ_A ，与实轴交点为同一点 σ_A 。

渐近线与实轴的夹角：

$$\phi_A = \frac{(2k + 1)180^\circ}{n - m}, \quad k = 0, 1, 2, \dots, n - m - 1$$

渐近线与实轴的交点（渐进中心）：

$$\sigma_A = \frac{\sum_{i=1}^n (-p_i) - \sum_{j=1}^m (-z_j)}{n - m}$$

8、根轨迹与虚轴的交点

A. 利用特征方程求取

用 $j\omega$ 替代 s ，令特征方程的实部、虚部等于零，求得 ω 和对应的 K 。

$$1 + KG(s)H(s) \big|_{s=j\omega} = 0$$

B. 用劳斯判据求取

确定稳定性改变时，增益 K 的临界值，再代入特征方程求得交点 $j\omega$ 。

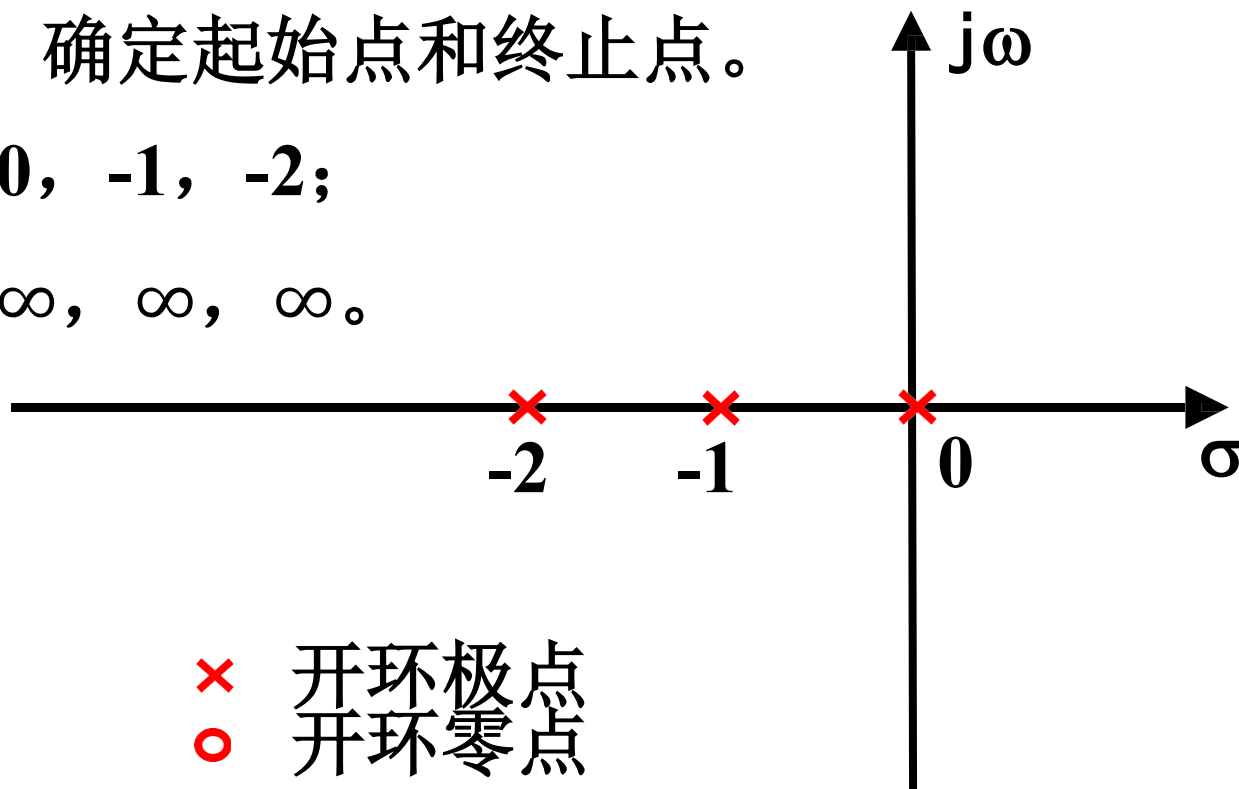
例7.5 单位负反馈系统的特征方程如下，试绘制其根轨迹草图。

$$1 + \frac{K}{s(s+1)(s+2)} = 0$$

解：第一步，确定起始点和终止点。

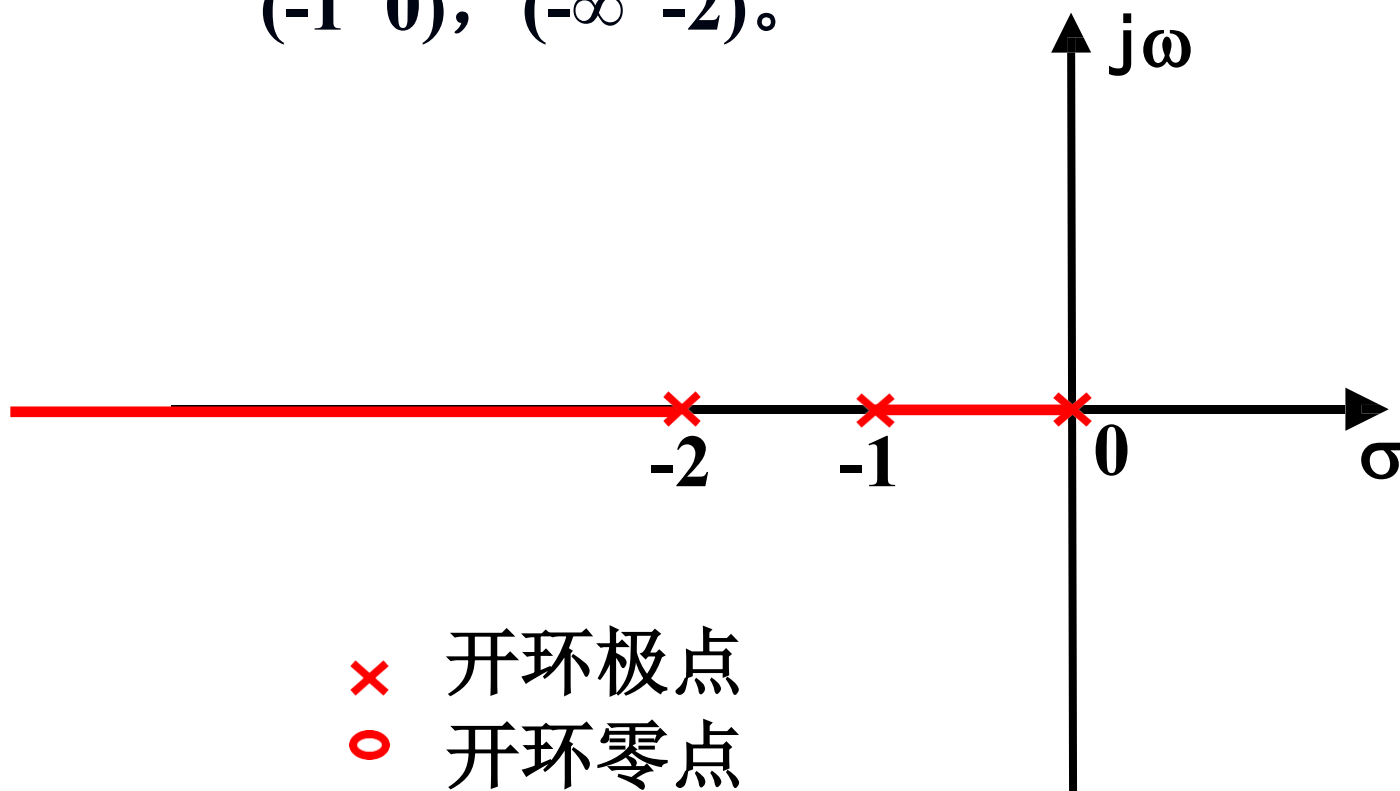
起点：0， -1， -2；

终点： ∞ ， ∞ ， ∞ 。



第二步，确定实轴上的根轨迹段。

$(-1 \ 0)$, $(-\infty \ -2)$ 。



第三步，确定分离点或会合点。

系统的开环传递函数为：

$$KG(s)H(s) = \frac{K}{s(s+1)(s+2)}$$

$$P(s) = 1, \quad Q(s) = s(s+1)(s+2)$$

$$\frac{dK}{ds} = -\frac{P(s)Q'(s) - P'(s)Q(s)}{P^2(s)} = 3s^2 + 6s + 2 = 0$$

$$\frac{dK}{ds} = -\frac{P(s)Q'(s) - P'(s)Q(s)}{P^2(s)} = 3s^2 + 6s + 2 = 0$$

求得： $s_1 = -1.58$ ， $s_2 = -0.42$

代入特征方程：

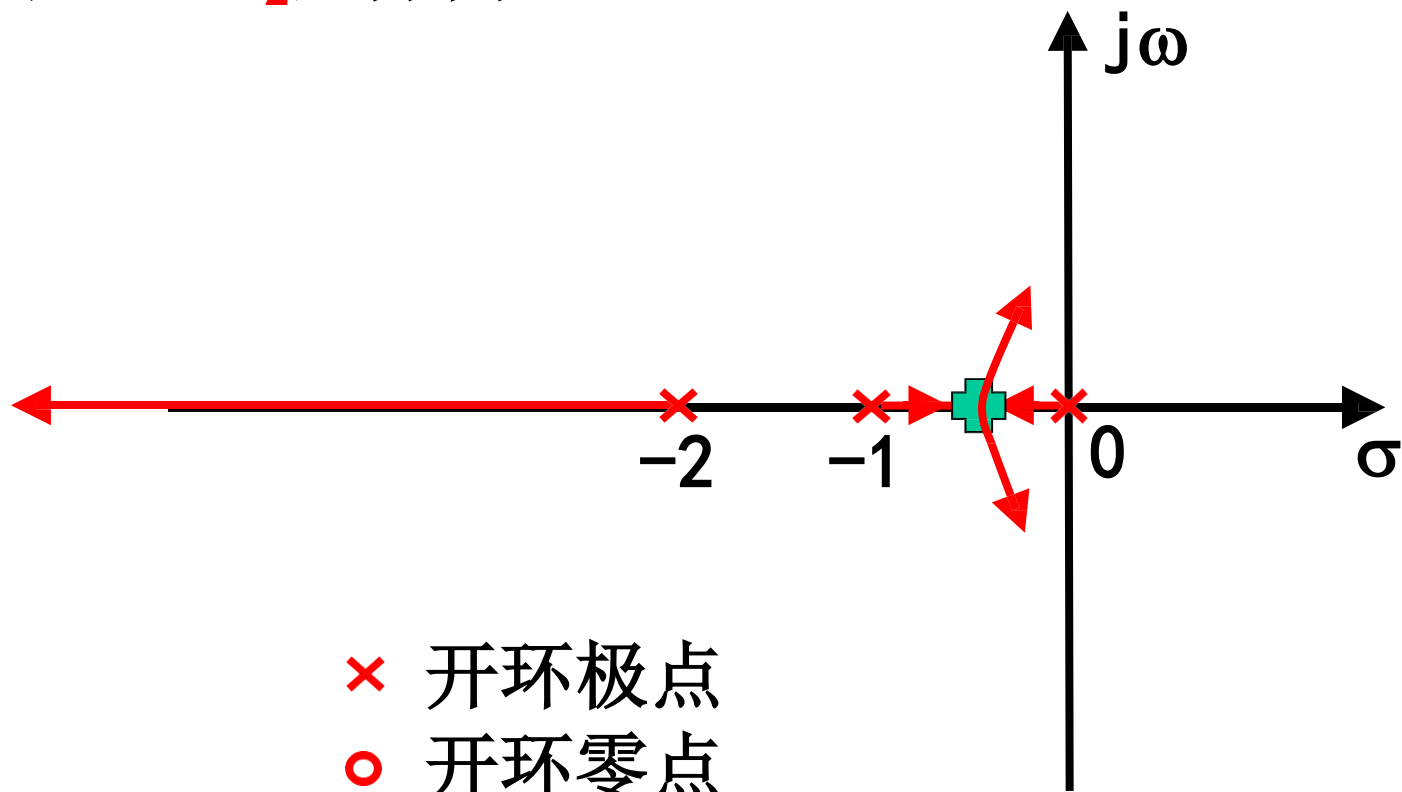
$$K = -\frac{Q(s)}{P(s)} = -s(s+1)(s+2)$$

s_1 代入， $K = -0.384 < 0$ ， 故舍去；

s_2 代入， $K = 0.384 > 0$ ， 是分离点。

$$s_1 = -1.58, \quad s_2 = -0.42$$

s_1 舍去, s_2 是分离点。



第四步，确定渐近线。

渐近线共有3条，渐近线的倾角：

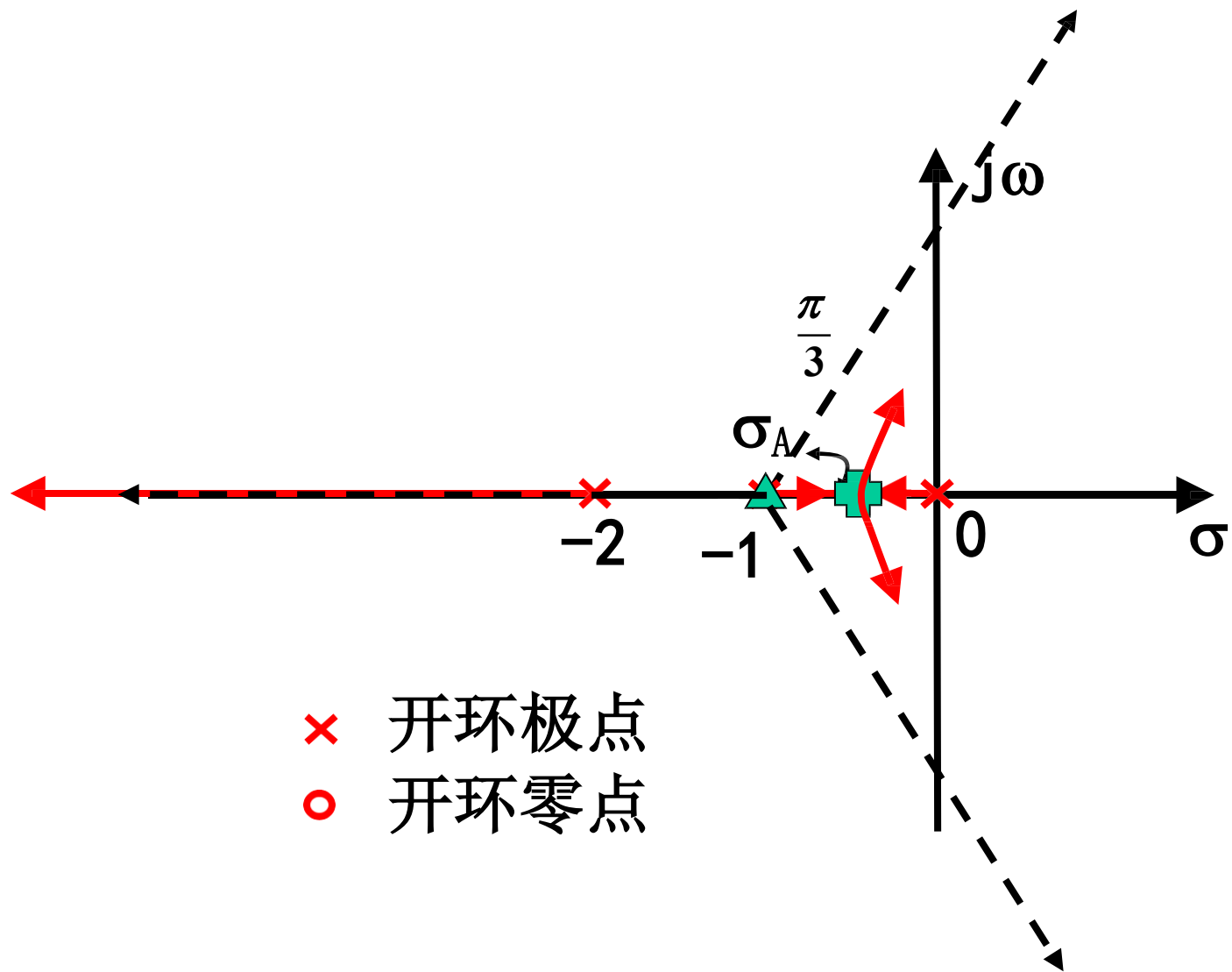
$$\phi_A = \frac{(2k+1)180^\circ}{n-m}, \quad k = 0, 1, 2, \dots, n-m-1$$

取 $k=0, 1, 2$ ，得到：

$$\phi_{A1} = 60^\circ \quad \phi_{A2} = 180^\circ \quad \phi_{A3} = 300^\circ$$

渐近线与实轴的交点（渐进中心）：

$$\sigma_A = -\frac{(0+1+2)+0}{3-0} = -1$$



第五步，确定根轨迹与虚轴交点。

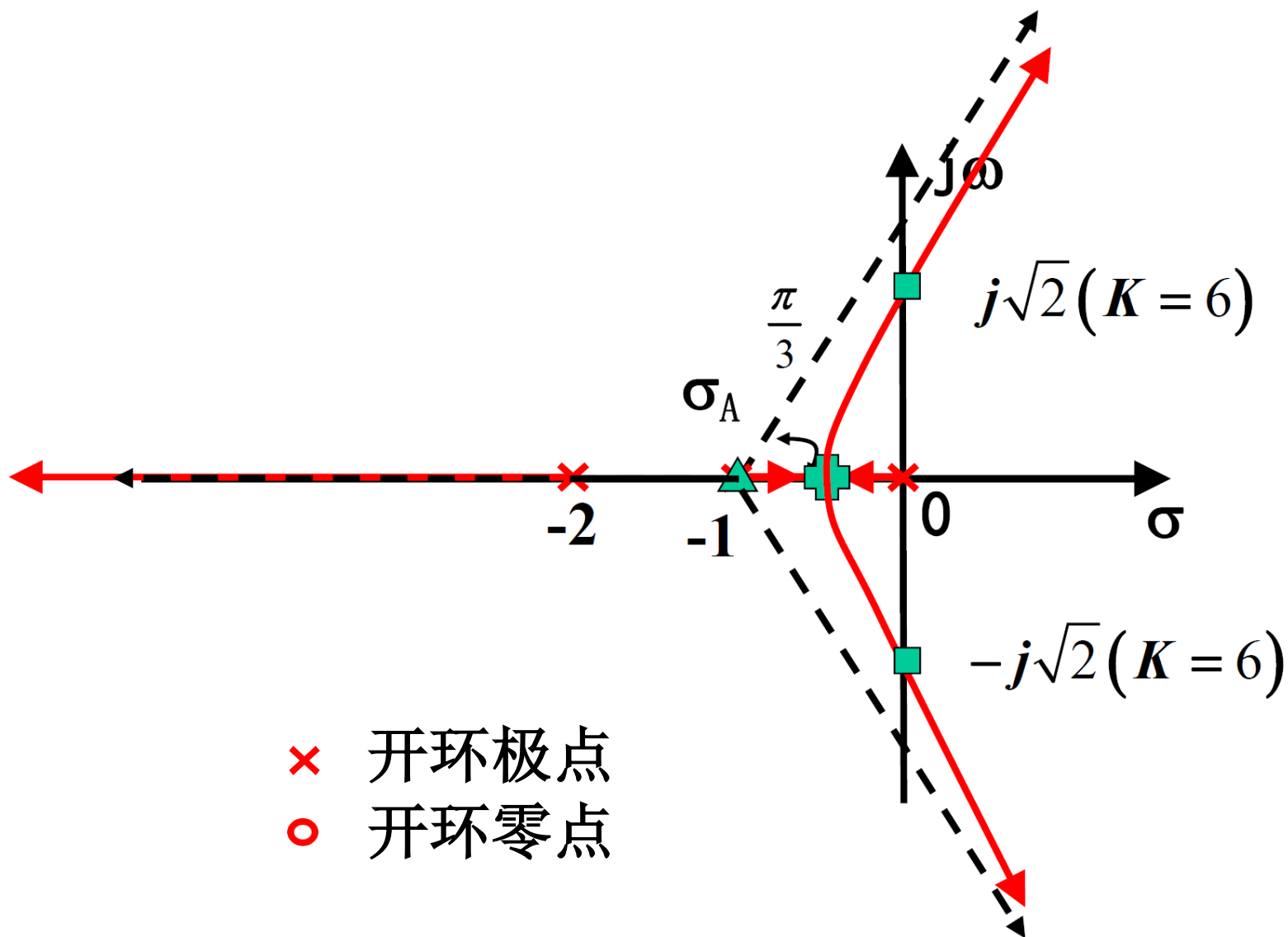
特征方程：

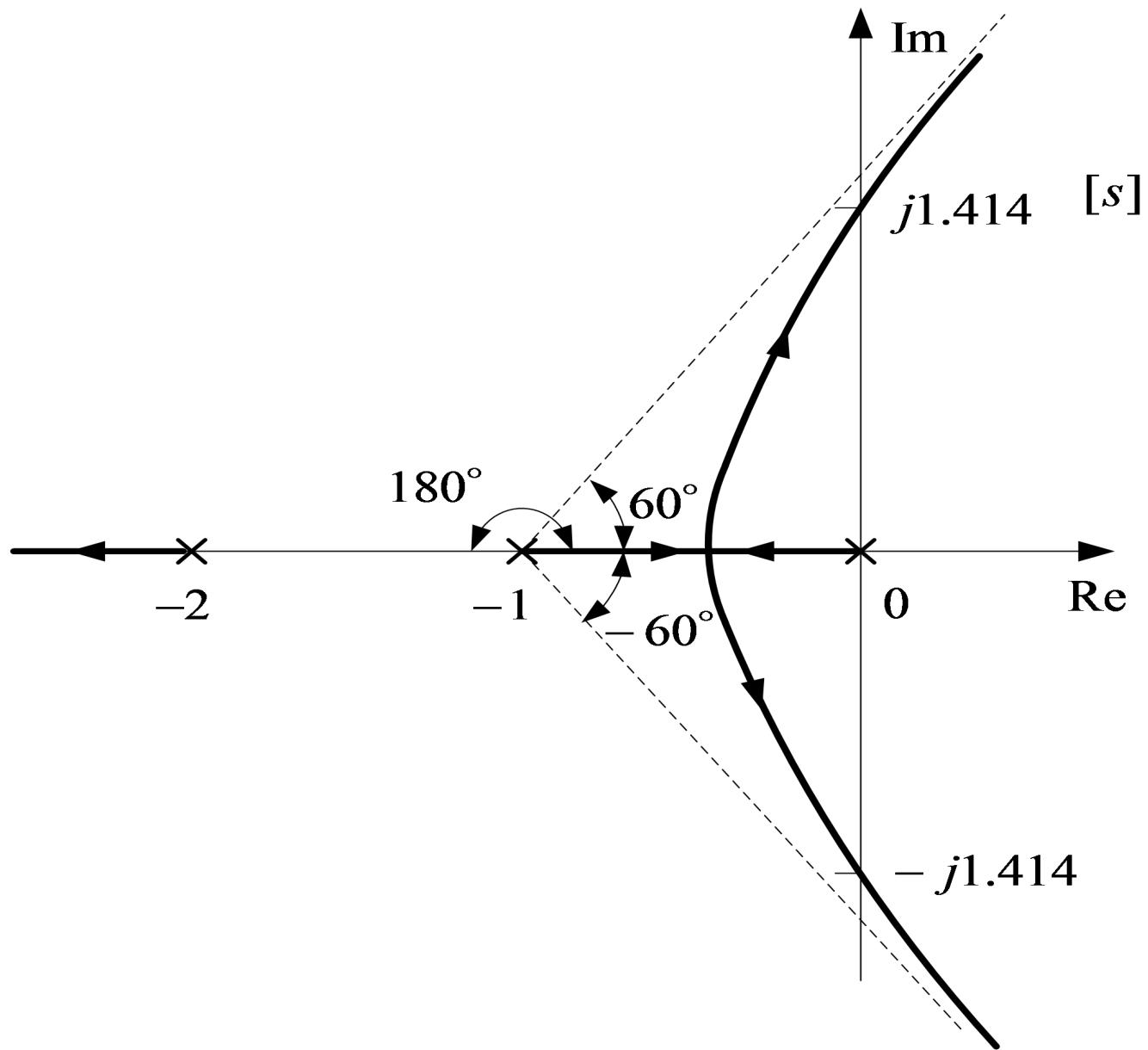
$$s^3 + 3s^2 + 2s + K = 0$$

令 $s = j\omega$

$$-j\omega^3 - 3\omega^2 + 2j\omega + K = 0$$

$$\begin{cases} \omega^3 = 2\omega \\ K = 3\omega^2 \end{cases} \xrightarrow{\text{red arrow}} \begin{cases} \omega = \pm\sqrt{2} \\ K = 6 \end{cases}$$

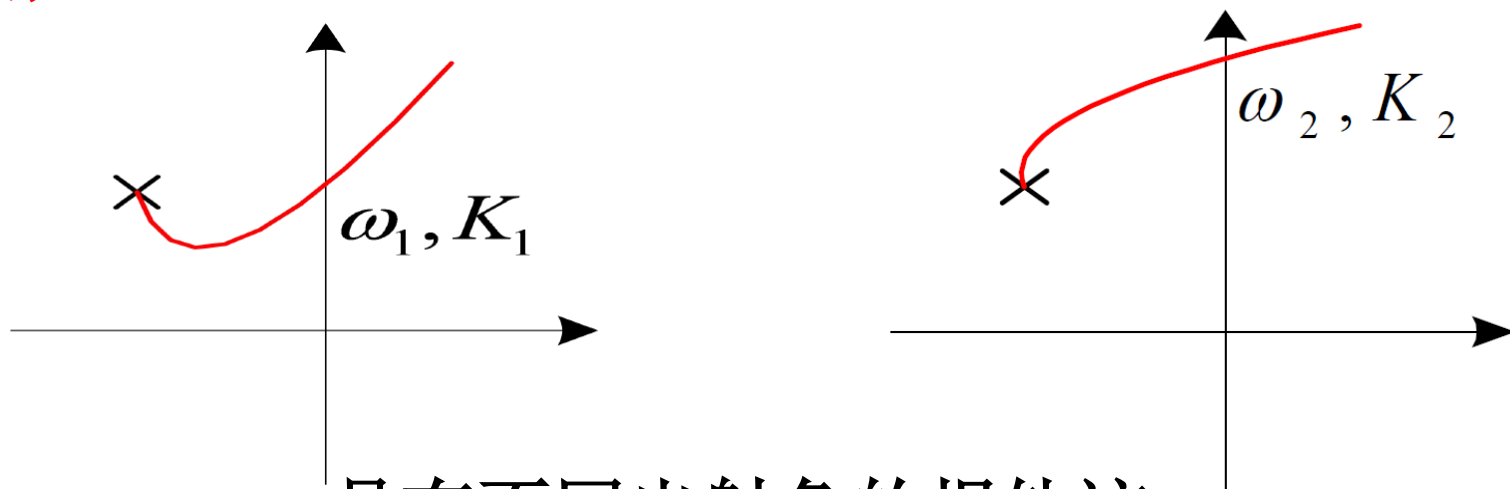




9、根轨迹的出射角和入射角

当开环零、极点为实数时，根轨迹或左或右**沿实轴发展**。

当开环零、极点为复数时，根轨迹离开复极点的出发角称为**出射角**；趋于复零点的终止角称为**入射角**。

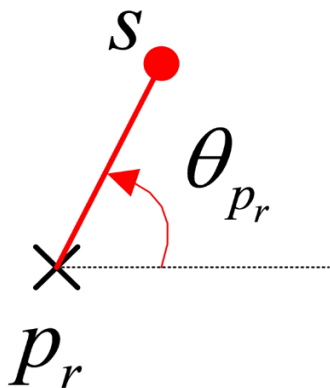


具有不同出射角的根轨迹

根轨迹始终满足相角条件

$$\sum \phi_j - \sum \theta_i = (2k+1)\pi$$

根轨迹点 s 趋近开环出发极点 p_r 时，两者之差的相角正好是**出射角**，而 s 与其他开环零、极点诱导的相角，等效于由 p_r 与其他开环零、极点诱导产生的相角。



$$\theta_{p_r} = (2k+1)\pi + \left(\sum_{j=1}^m \phi_{z_j p_r} - \sum_{\substack{i=1 \\ (i \neq r)}}^n \theta_{p_i p_r} \right)$$

$$k = 0, \pm 1, \pm 2, \dots$$

根轨迹始终满足相角条件

$$\sum \phi_j - \sum \theta_i = (2k + 1)\pi$$

入射角有类似的结论。

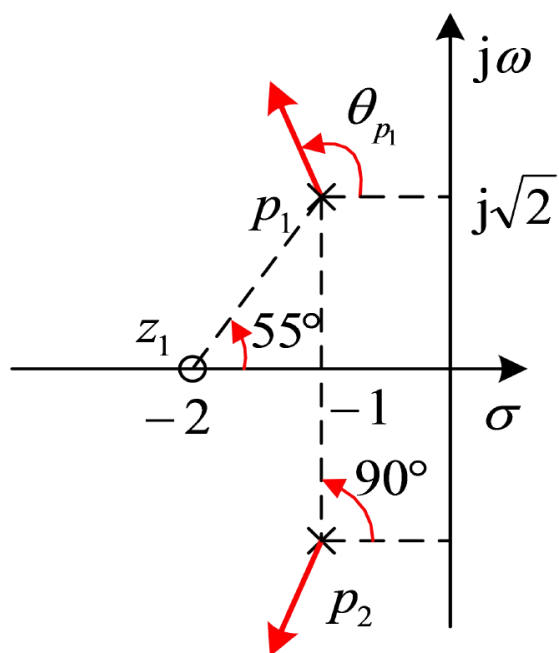
$$\phi_{z_r} = (2k + 1)\pi - \left(\sum_{\substack{j=1 \\ (j \neq r)}}^m \phi_{z_j z_r} - \sum_{i=1}^n \theta_{p_i z_r} \right)$$

$$k = 0, \pm 1, \pm 2, \dots$$

例7.6 确定下面的系统的根轨迹的出射角。

$$KG(s)H(s) = \frac{K(s+2)}{s^2 + 2s + 3}$$

解：开环极点为 $p_{1,2} = -1 \pm j\sqrt{2}$

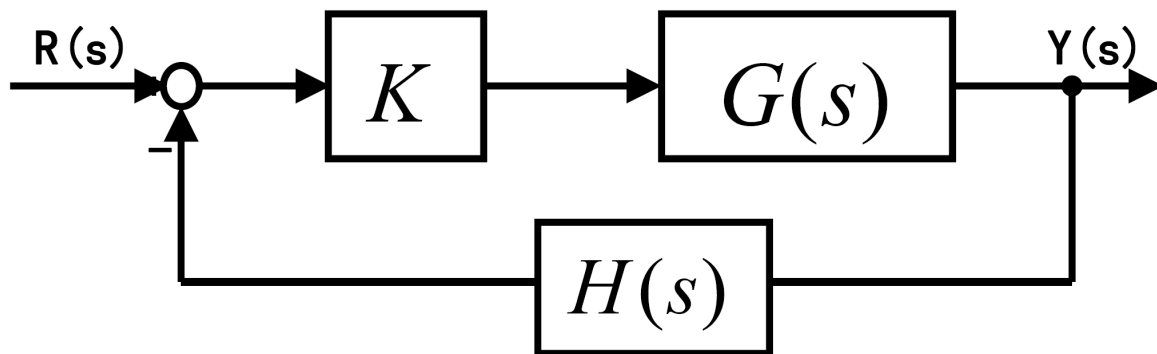


于是：

$$\begin{aligned}\theta_{p1} &= 55^\circ - 90^\circ \pm 180^\circ \\ &= 145^\circ\end{aligned}$$

小结

最典型的控制结构：比例控制



根轨迹能够提供调节 K 时，极点位置以及系统性能变化的全貌

能够用绘图方法，简便地绘制根轨迹

作业7-1

E7.1 在图 E7.1 所示的圆环装置中，球体沿环的内壁自由滚动，圆环沿着水平方向自由旋转^[11]。该装置可以用来模拟液体燃料在火箭中的晃动。作用于环上的转矩控制着圆环的角位移，而转矩 T 则由连接在圆环的驱动杆上的电机产生。当引入负反馈后，系统的特征方程为

$$1 + \frac{Ks(s + 4)}{s^2 + 2s + 2} = 0$$

- (a) 绘制以 K 为参数的根轨迹。
- (b) 当闭环特征根相等时，求出系统增益 K 的取值。
- (c) 求出彼此相等的这两个特征根。
- (d) 当闭环特征根相等时，计算系统的调节时间。

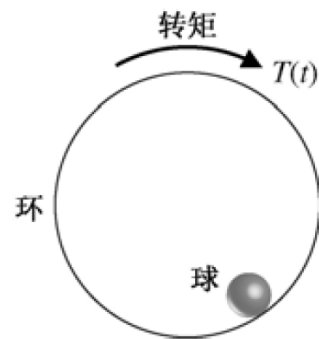


图 E7.1 由电机驱动旋转的圆环

作业7-2

E7.4 考虑某个单位负反馈系统，其开环传递函数为

$$G_c(s)G(s) = \frac{K(s + 1)}{s^2 + 4s + 5}$$

- (a) 求根轨迹离开复极点的出射角。
- (b) 求根轨迹进入实轴的汇合点。

作业7-3

E7.8 单位负反馈系统的开环传递函数为

$$L(s) = G_c(s)G(s) = \frac{K(s + 1)}{s^2(s + 9)}$$

- (a) 当三个特征根均为实数且彼此相等时, 求增益 K 的取值。
- (b) 求出(a)中的三个彼此相等的闭环特征根。

作业7-4

E7.9 世界上最大的望远镜坐落在夏威夷，其主镜由 36 片六角形的镜片镶嵌而成，直径高达 10 m。望远镜能够对每个镜片的方位进行主动控制。假设单个镜片的控制由单位负反馈系统实现，且开环传递函数为

$$L(s) = G_c(s)G(s) = \frac{K}{s(s^2 + 2s + 5)}$$

- (a) 在 s 平面上绘制闭环系统根轨迹的渐近线。
- (b) 求离开复极点的出射角。
- (c) 确定增益 K 的取值，使系统有两个特征根位于虚轴之上。
- (d) 绘制系统的根轨迹。

作业7-5

E7. 10 某单位负反馈系统的开环传递函数为

$$KG(s) = \frac{K(s + 2)}{s(s + 1)}$$

- (a) 求实轴上的分离点和汇合点。
- (b) 当复特征根的实部为 -2 时, 求出系统的增益和特征根。
- (c) 绘制系统的根轨迹。